

# RiffleScrambler – bezpieczna funkcja do przechowywania haseł <sup>★</sup>

Filip Zagórski<sup>1</sup>

Oktawave

**Abstract.** RiffleScrambler jest rodziną grafów skierowanych i odpowiadającą jej funkcją, która może m. in. służyć do bezpiecznego przechowywania haseł.

Funkcja jest zaprojektowana w taki sposób, aby ataki na hasła z wykorzystaniem dedykowanego sprzętu były jak nieopłacalne.

W niniejszej pracy opisujemy funkcję RiffleScrambler\*, która jest zmodyfikowaną wersją RiffleScrambler – uproszczony jest setup systemu i dla większej liczby warstw wykonywanych jest mniej obliczeń.

**Keywords:** Memory hardness, password storing, Markov chains, mixing time.

## 1 Introduction

W pierwszych systemach komputerowych hasła przechowywane w sposób niezakodowany jako para  $\langle user, password \rangle$ , dostęp do pliku z hasłami był jedynie ograniczony uprawnieniami danego użytkownika. Dzięki temu, administratorzy mogli poznać hasła użytkowników. W latach 60-tych XX wieku zmieniono podejście i hasła zaczęto szyfrować, choć de facto stało się to powszechną praktyką dopiero w latach 70-tych, gdy powstała funkcja **crypt**. Hasło przechowywano jako  $\langle user, f_k(password) \rangle$ , gdzie  $f$  była funkcją szyfrującą (np. DES), a  $k$  oznaczało klucz szyfrujący. Z uwagi na fakt, że klucz i tak należało przechowywać w danym systemie, rozwiązanie to nie podnosiło znacząco bezpieczeństwa. Dość szybko szyfrowanie zastąpiono funkcjami jednokierunkowymi i hasła przechowywano jako parę  $\langle user, h(password) \rangle$ , gdzie  $h$  była bezkolizyjną funkcją haszującą. Rozwiązanie to choć uniemożliwia administratorowi na deszyfrowanie haseł, to podowuje, że dwaj użytkownicy mający to samo hasło mają przypisaną tą samą wartość.

Tak więc, zazwyczaj przechowuje się hasła w postaci  $\langle user, h(pass, salt), salt \rangle$ , gdzie  $user$  jest identyfikatorem użytkownika,  $pass$  jego hasłem,  $h$  jest

---

<sup>★</sup> Wyniki badań były finansowane przez Regionalny Program Operacyjny Województwa Mazowieckiego na lata 2014-2020, umowa RPMA.01.02.00-14-5767/16-02

funkcją haszującą, a *salt* jest tzw. solą. Taki sposób przechowywania haseł ma swoje zalety: (1) można łatwo zweryfikować poprawność podanego hasła, poprzez obliczenie  $h$ , (2) dzięki wykorzystaniu soli, nawet dla użytkowników o tych samych hasłach, przechowywana wartość jest różna. Przez wiele lat wydawało się, że taki sposób przechowywania haseł jest dobry, o ile tylko wykorzystana funkcja haszująca  $h$  jest bezkolizyjna.

Aby spowolnić atakujących, wprowadzono dwa dodatkowe zabezpieczenia:

**pepper** – hasła przechowywane są jako trójka  $\langle user, f(password, salt, pepper), salt \rangle$ , gdzie wartość **pepper** nie jest przechowywana – obliczenie hasła zostaje spowolnione przez współczynnik proporcjonalny do rozmiaru przestrzeni, z której wybrano (losową) wartość pepper.

**garlic** – powoduje spowolnienie obliczenia wartości funkcji poprzez jej składanie:  $\langle user, f^{garlic}(password, salt, pepper), salt, garlic \rangle$ .

Jednakże zarówno wykorzystanie pieprzu jak i soli ma również słabą stronę: tak samo zwalnia obliczenie funkcji u atakującego jak i na serwerze.

## 1.1 Memory hard functions

Większość wykorzystywanych w kryptografii funkcji jest projektowanych w ten sposób, aby jednocześnie uzyskać zarówno wysoki poziom bezpieczeństwa jak i najwyższą wydajność (w szczególności na różnych platformach sprzętowych). Wymaganie dotyczące wydajności najczęściej powoduje, że do obliczenia danej funkcji nie jest wymagane dużo pamięci. Okazuje się, że takie podejście może się obrócić przeciwko twórcom systemów zabezpieczeń. Osoby, które chcą złamać hasła wykorzystują dedykowane układy liczące (FPGA bądź ASIC), które umożliwiają im na tanie, równoległe obliczanie wartości funkcji i dzięki temu, dużo efektywniejsze łamanie haseł. Dobry procesor jest w stanie obliczać SHA-256 z prędkością ok 1GH/s, dobra karta graficzna z prędkościami ok 30GH/s, natomiast dedykowany układ liczący (np. Antminer S9) osiąga 14 000GH/s. Jeżeli porównamy wydajność energetyczną, to przewaga układów ASIC w przeliczeniu na liczbę liczonych haszy wynosi ok. 1 000 000 (tj. policzenie hasza na Antminer S9, kosztuje ok milion razy taniej niż policzenie tego samego hasza na serwerze).

Chcąc zlikwidować asymetrię w kosztach weryfikacji hasła względem kosztów łamania haseł należy wykorzystać funkcje, które ograniczają przewagę atakujących. Te funkcje to *memory hard functions* (MHF, “funkcje pamięciożerne”). Pierwsze funkcje typu memory-hard zostały zaproponowane

przez Percivala [Per], który zaproponował funkcję `srypt`. Jego nowatorskie podejście polegało na tym, że nie tylko funkcja liczyła się “wolniej” (efekt ten był osiągany już wcześniej dzięki parametrom: salt, pepper, garlic), ale przede wszystkim dlatego, że do jej obliczenia wymaganych jest dużo pamięci.

O obliczaniu funkcji  $F$ , możemy myśleć jak o ciągu odwołań do pamięci. Dowolna funkcja może być opisana jako skierowany acykliczny graf  $G = G_F = \langle V, E \rangle$  (gdzie  $V$  odpowiada wierzchołkom grafu  $V = \langle v_1, \dots, v_M \rangle$ , a krawędzie  $E \subset V \times V$ ). Gdy do obliczania wartości  $v_i$  potrzebne są wartości przechowywane w  $v_{i,1}, \dots, v_{i,k}$  to są one rodzicami wierzchołka  $v_i$  (i odpowiadają im krawędzie skierowane  $\langle v_{i,j}, v_i \rangle$ ).

**Przykład 1** Funkcja *PBKDF2* [Bur00] jest zdefiniowana jako  $F(\text{pass}) = F_{\text{pbkdf},h}(\text{pass}) = \text{hash}^{1024}(\text{pass})$  dla funkcji haszującej  $h$ , może być reprezentowana przez graf składający się z wierzchołków  $V = \{v_0, \dots, v_N\}$  dla  $N = 1024$  i krawędzi  $E = \{\langle v_{i-1}, v_i \rangle : i \in \{1, \dots, N\}\}$ , zależność między wartościami w wierzchołkach:  $v_i = h(v_{i-1})$ , a  $v_0 = \text{pass}$ . Natomiast wartość  $F(\text{pass}) = v_N$ .

Funkcje MHF dzielą się na dwie grupy: te, dla których graf  $G_F$  zależy od obliczanego hasła (dMHF – data dependent MHF) oraz takie, dla których graf nie zależy od hasła (iMHF – data independent MHF). Dla iMHF dopuszczalne jest, aby graf zależał np. od soli, co więcej jest to wręcz porządane, bo utrudnia łamanie haseł. Funkcje dMHF (np. `srypt`) są podatne na ataki typu side-channel.

Poziom bezpieczeństwa może być rozpatrywany w dwóch modelach: sekwencyjnym i równoległym. W modelu sekwencyjnym zakładamy, że adwersarz próbuje odwrócić  $F$  (tj. znaleźć pasujące hasło) poprzez wykonywanie obliczeń na jednoprocessorowej maszynie. Bezpieczeństwo w tym modelu odpowiada własnościom grafu  $G_F$ , w szczególności, gdy  $G_F$  jest tzw. superkoncentratorem (Definicja 3) to funkcja  $F$  jest memory-hard w modelu sekwencyjnym. Natomiast, gdy  $G_F$  jest grafem o własności *depth-robust* to  $F$  jest memory-hard w modelu równoległym.

## 1.2 Definicje

Złożoność sekwencyjną dla grafu  $G$  oznaczamy przez  $\Pi_{st}(G)$  i odpowiada czasowi, który jest potrzebny do “obliczenia” grafu przemnożonej przez maksymalną liczbę komórek pamięci, wykorzystywaną przez najlepszy sekwencyjny algorytm obliczający  $F$  ( $G_F$ ).

Złożoność równoległa jest definiowana jako suma komórek pamięci wykorzystywanych przez najlepszy algorytm równoległy obliczający  $G$ , oznaczamy ją przez  $\Pi_{cc}^{\parallel}(G)$ . Definicje te zostały wprowadzone w ciągu prac [AS15,BCGS16,FLW,LT82].

**Przykład 2** Dla wspomnianej już (w Przykładzie 1, otrzymujemy następujące wartości:  $\Pi_{st}(PBKDF2) = n$  a  $\Pi_{cc}^{\parallel}(PBKDF2) = n$ , oznacza to, że  $PBKDF2$  nie jest funkcją typu *memory-hard*, bo dla takowych oczekujemy:  $\Pi_{st}(mhf) = \Omega(n^2)$ .

Konkurs na najlepszą funkcję do przechowywania haseł Password Hashing Competition [phc] został ogłoszony w 2013 roku. Zwycięzcą została funkcja **Argon2i** [BDK16], funkcje **Catena** [FLW15], **Lyra2** [SAA<sup>+</sup>], **yescrypt** [yes14] i **Makwa** [Por15] otrzymały wyróżnienia.

Niech  $DFG_n^\lambda$  oznacza graf wykorzystywany w Catenie (wersja Dragonfly), a  $BFG_n^\lambda$  niech oznacza graf wersji Butterfly (porównaj [ABP17,FLW15]), natomiast przez  $BHG_\sigma^\lambda$  oznaczmy graf obliczeń w Balloon Hashing [BCGS16].

Obliczenie wartości funkcji wymaga  $N$  komórek pamięci i jeżeli proces dysponuje taką ilością pamięci, to obliczenie wykonuje się w czasie  $T$ . Przedstawiamy wyniki, które pokazują trade-off (w modelu sekwencyjnym): tj. pokazujemy ile zajmie obliczenie wartości funkcji jeżeli dysponuje się jedynie  $S \ll N$  komórkami pamięci. Dla modelu sekwencyjnego i grafów  $DFG_N^\lambda$  i  $BHG_\sigma^\lambda$  zachodzą następujące wyniki:

**Lemat 1** *Każdy adversarz wykorzystujący  $S \leq N/20$  komórek pamięci, oblicza funkcję Catena (w wersji Dragonfly –  $DFG_N^\lambda$ ) w czasie  $T$*

$$T \geq N \left( \frac{\lambda N}{64S} \right)^\lambda.$$

**Lemat 2** *Adversarz dysponujący  $S \leq N/64$  komórkami pamięci, oblicza funkcję BalloonHashing ( $BHG_\sigma^\lambda$ ) dla  $\delta = 7$  i liczby rund  $\lambda$  w czasie nie mniejszym niż:*

$$T \geq \frac{(2^\lambda - 1)N^2}{32S}.$$

Analogiczne wyniki zachodzą też dla ataków równoległych, dla  $BFG_n^\lambda$ ,  $DFG_n^\lambda$  and  $BHG_\sigma^\lambda$  zachodzą następujące trade-offy:

**Twierdzenie 1 (Twierdzenie 7 w [ABP17])**

- Dla  $\lambda, n \in \mathbb{N}^+$  takich, że  $n = 2^g(\lambda(2g - 1) + 1)$  i dla pewnego  $g \in \mathbb{N}^+$  zachodzi:

$$\Pi_{cc}^{\parallel}(BFG_n^\lambda) = \Omega \left( \frac{n^{1.5}}{g\sqrt{g\lambda}} \right)$$

- Jeżeli  $\lambda, n \in \mathbb{N}^+$  są takie, że  $k = n/(\lambda + 1)$  jest potęgą 2, to:

$$\Pi_{cc}^{\parallel}(DFG_n^{\lambda}) = \Omega\left(\frac{n^{1.5}}{\sqrt{\lambda}}\right)$$

- Jeżeli  $\tau, \sigma \in \mathbb{N}^+$  są takie, że  $n = \sigma \cdot \tau$  to z dużym prawdopodobieństwem zachodzi:

$$\Pi_{cc}^{\parallel}(BHG_{\tau}^{\sigma}) = \Omega\left(\frac{n^{1.5}}{\sqrt{\tau}}\right).$$

Wynik Alwena i Blocki'ego [AB16] pokazuje, że atakujący w modelu równoległym może, dla każdej funkcji typu iMHF (np. Argon2i, Balloon, Catena, *etc.*) oszczędzić na pamięci, zatem optimum nie wynosi  $\Pi_{cc}^{\parallel} = \Omega(n^2)$ , ale  $\Pi_{cc}^{\parallel} = \Omega(n^2/\log n)$ . Z drugiej strony, wydaje się, że w praktyce wynik ten nie będzie miał znaczenia z uwagi na fakt, że zakłada, że zużycie pamięci musi być duże ( $> 1\text{GB}$ ), podczas gdy funkcje MHF wykorzystują najczęściej co najwyżej kilkanaście megabajtów (np. 16MB).

### 1.3 Wkład

W tej pracy opisujemy (bazując na [GLZ18] w Rozdziale 3) RiffleScrambler nową rodzinę skierowanych grafów acyklicznych i związaną z nimi funkcję typu iMHF.

Następnie opisujemy, zmodyfikowaną wersję RiffleScrambler \*, która charakteryzuje się łatwiejszym pre-procesingiem.

RiffleScrambler dla hasła  $x$ , soli  $s$  i parametrów bezpieczeństwa (liczby całkowite)  $g, \lambda$ , wykonuje następujące obliczenia:

1. tworzy permutację  $\rho = \rho_g(s)$  dla  $N = 2^g$  elementów, wykorzystując algorytm Riffle Shuffle: Algorytm 1),
2. tworzy graf  $\text{RSG}_{\lambda}^N = G_{\lambda,g,s} = G_{\lambda,g}(\rho)$ ,
3. pierwszy wierzchołek  $\text{RSG}_{\lambda}^N$  przechowuje hasło  $x$ , wartością funkcji jest wartość ostatniego obliczonego wierzchołka.

Zaproponowany nowy schemat RiffleScrambler\* nie wymaga tworzenia i przechowywania permutacji  $\rho$ , kolejne warstwy grafu są tworzone “on-line”. Konstrukcja zapewnia te podobne parametry bezpieczeństwa (w modelu sekwencyjnym) oraz większą wydajność. Funkcja wymaga jednak, aby parametr  $\lambda > 2$ .

**Lemat 3** *Każdy algorytm wykorzystujący  $S \leq N/20$  komórek pamięci, wymaga do obliczenia RiffleScrambler\* czasu  $T$ , dla którego zachodzi*

$$T \geq N \left( \frac{\lambda N}{64S} \right)^{\lambda},$$

gdzie  $\text{RSG}_\lambda^N$  jest grafem obliczeń *RiffleScrambler\**.

Powyższy rezultat pokazuje, że schemat *RiffleScrambler* gwarantuje ten sam poziom bezpieczeństwa co *Catena* i jednocześnie większy poziom bezpieczeństwa niż *BalloonHashing* (Lemat 2). Główną przewagą *RiffleScrambler* nad *Cateną* jest to, że graf obliczeń zależy od soli. Dla ataku równoległego zachodzi następujący wynik.

**Lemat 4** *Dla dodatnich liczb całkowitych  $\lambda, g$  niech  $n = 2^g(2\lambda g + 1)$ , wtedy*

$$\Pi_{cc}^{\parallel}(\text{RSG}_\lambda^k) = \Omega\left(\frac{n^{1.5}}{\sqrt{g\lambda}}\right).$$

Ponadto, warto zauważyć, że *RiffleScrambler* jest odporne na ataki typu cache-timing, z uwagi na fakt, że dostęp do pamięci jest niezależny od hasła.

## 2 Podstawowe pojęcia

Dla skierowanego grafu acyklicznego DAG (directed acyclic graph)  $G = (V, E)$  na  $n = |V|$  wierzchołkach, definiujemy jego stopień wejściowy jako  $\delta = \max_{v \in V} \text{indeg}(v)$ . Rodzicami wierzchołka  $v \in V$  jest zbiór  $\text{parents}_G(v) = \{u \in V : (u, v) \in E\}$  (bezpośrednich poprzedników  $v$ ).

Wierzchołek  $u \in V$  nazywamy *źródłem* jeżeli nie posiada rodziców (jego stopień wejściowy wynosi 0), natomiast o  $u \in V$  mówimy, że jest *ujściem* jeżeli nie jest rodzicem dla żadnego innego wierzchołka (ma stopień wyjściowy 0). Oznaczamy zbiór wszystkich ujść  $G$  przez  $\text{sinks}(G) = \{v \in V : \text{outdegree}(v) = 0\}$ .

Mówimy, że skierowana ścieżka  $p = (v_1, \dots, v_t)$  jest długości  $t$  w  $G$  jeżeli  $(\forall i) v_i \in V$ ,  $(v_i, v_{i+1}) \in E$  i oznaczamy to przez  $\text{length}(p) = t$ . *Głębokością* (średnicą) grafu  $G$  oznaczamy  $d = \text{depth}(G)$  i jest to długość najdłuższej skierowanej ścieżki  $G$ .

### 2.1 Pebbling game i złożoność

Główną techniką służącą do analizy funkcji iMHF jest nazywana *pebbling game*. Intuicyjnie, jest to gra, w której adversarz, mając do dyspozycji graf skierowany kładzie i zdejmuje kolejno kamyki z wierzchołków grafu. Kamyk można położyć na wierzchołek tylko wtedy, gdy wszyscy rodzice wierzchołka mają położony kamyk (kamyk można też położyć na dowolny z wierzchołków-źródeł). Zdjąć kamyk można z dowolnego wierzchołka w każdym momencie. Celem gry jest takie układanie kamieni, aby na końcu

gry kamyki leżały na wszystkich wierzchołkach-ujściach (wygrana gra). Złożoność pamięciowa danego grafu określana jest jako minimalna liczba kamyków, która jest potrzebna do wygrania gry.

Poniżej przedstawiamy bardziej formalną definicję [ABP17].

**Definicja 1 (Równoległy/Sekwencyjny Graph Pebbling)** *Niech  $G = (V, E)$  będzie grafem skierowanym, a  $T \subset V$  niech będzie zbiorem docelowym wierzchołków (celem gry jest położenie kamyków na wszystkich wierzchołkach z  $T$ ). Konfiguracją (kamyków na  $G$ ) w chwili  $i$  jest podzbiór  $P_i \subset V$ . Poprawnym, równoległym pebblowaniem  $T$  jest taki ciąg  $P = (P_0, \dots, P_t)$  konfiguracji na  $G$ , gdzie  $P_0 = \emptyset$  i dla którego zachodzą warunki 1 i 2. Sekwencyjne pebblowanie musi spełniać dodatkowo warunek 3.*

1. Dla każdego wierzchołka docelowego z  $T$ , istnieje taka konfiguracja, która zawiera dany wierzchołek.

$$\forall x \in T \quad \exists z \leq t \quad : \quad x \in P_z.$$

2. Kamyki mogą być położone wyłącznie na te wierzchołki, których rodzice posiadają kamyki w poprzednim kroku.

$$\forall i \in [t] \quad : \quad x \in (P_i \setminus P_{i-1}) \Rightarrow \text{parents}(x) \subset P_{i-1}.$$

3. Co najwyżej jeden kamyk jest położony w jednym kroku.

$$\forall i \in [t] : |P_i \setminus P_{i-1}| \leq 1.$$

Przez  $\mathcal{P}_{G,T}$  i  $\mathcal{P}_{G,T}^{\parallel}$  oznaczamy zbiory poprawnych ciągów konfiguracji (sekwencyjnych i równoległych) grafu  $G$  dla zbioru docelowego  $T$ .

Łatwo można zauważyć, że  $\mathcal{P}_{G,T} \subset \mathcal{P}_{G,T}^{\parallel}$ . Gdy zbiór docelowy składa się wyłącznie z ujść grafu  $T = \text{sinks}(G)$ , to w takim przypadku używamy oznaczeń  $\mathcal{P}_G$  i  $\mathcal{P}_G^{\parallel}$ .

**Definicja 2 (Czasowa/Pamięciowa/Łączna Złożoność Pebblingu)**

*Złożoności czasowa (time -  $t$ ), pamięciowa (space -  $s$ ), pamięciowo-czasowa (space-time  $st$ ) oraz złożoność łączna (cumulative  $cc$ ) dla pebblowania  $P = \{P_0, \dots, P_t\} \in \mathcal{P}_G^{\parallel}$  są zdefiniowane następująco:*

$$\Pi_t(P) = t, \quad \Pi_s(P) = \max_{i \in [t]} |P_i|, \quad \Pi_{st}(P) = \Pi_t(P) \cdot \Pi_s(P), \quad \Pi_{cc}(P) = \sum_{i \in [t]} |P_i|.$$

Dla  $\alpha \in \{s, t, st, cc\}$  i zbioru docelowego  $T \subset V$ , złożoność sekwencyjna i równoległa pebblowania  $G$  są zdefiniowane jako

$$\Pi_\alpha(G, T) = \min_{P \in \mathcal{P}_{G,T}} \Pi_\alpha(P), \quad \Pi_\alpha^\parallel(G, T) = \min_{P \in \mathcal{P}_{G,T}^\parallel} \Pi_\alpha(P).$$

Gdy  $T = \text{sinks}(G)$ , piszemy  $\Pi_\alpha(G)$  oraz  $\Pi_\alpha^\parallel(G)$ .

## 2.2 Ataki sekwencyjne

**Definicja 3 ( $N$ -Superkoncentrator)** Skierowany graf acykliczny  $G = \langle V, E \rangle$  ze zbiorem wierzchołków  $V$  i zbiorem krawędzi  $E$ , ograniczonym stopniem wejściowym,  $N$  wierzchołkami wejściowymi (źródłami) i  $N$  ujściami jest nazywany  $N$ -Superkoncentratorem jeżeli dla każdego  $k$  takiego, że  $1 \leq k \leq N$  i dla dowolnej pary podzbiorów  $V_1 \subset V$  dla  $k$  wierzchołków źródłowych i  $V_2 \subset V - k$  ujść, istnieje  $k$  wierzchołkowo-rozłącznych ścieżek łączących wierzchołki  $V_1$  z wierzchołkami  $V_2$ .

Przez połączenie (zestakowanie)  $\lambda$  (liczba całkowita)  $N$ -Superkoncentratora, otrzymujemy graf nazywany  $(N, \lambda)$ -Superkoncentratorem.

**Definicja 4 ( $(N, \lambda)$ -Superkoncentrator)** Niech  $G_i, i = 0, \dots, \lambda-1$  będą  $N$ -Superkoncentratorami. Niech  $G$  będzie grafem uzyskanym poprzez połączenie ujść  $G_i$  ze źródłami  $G_{i+1}, i = 0, \dots, \lambda-2$ . Graf  $G$  nazywamy  $(N, \lambda)$ -superkoncentratorem.

**Theorem 1 (Dolne ograniczenie dla  $(N, \lambda)$ -superkoncentratora [LT82]).** Gra pebbling gmae dla  $(N, \lambda)$ -superkoncentratora, używająca  $S \leq N/20$  kamyków wymaga  $T$  rund, gdzie

$$T \geq N \left( \frac{\lambda N}{64S} \right)^\lambda.$$

## 3 RiffleScrambler

Funkcja RiffleScrambler wykorzystuje następujące parametry:

- $s$  – parametr salt wykorzystywana do generowania grafu  $G$ ,
- $g$  – parametr garlic,  $G = \langle V, E \rangle$ , i.e.,  $V = V_0 \cup \dots \cup V_{2\lambda g}$ ,  $|V_i| = 2^g$ ,
- $\lambda$  – parametr określający liczbę warstw grafu  $G$ .

Niech  $HW(x)$  oznacza wagę Hamminga binarnego ciągu  $x$  (liczba jedynek), a  $\bar{x}$  oznacza dopełnienie  $x$  (jeżeli na współrzędnej  $i$  jest bit  $b_i$  to  $\bar{b}_i = 1 - b_i$  (tak więc  $HW(\bar{x})$  odpowiada liczbie zer  $x$ ).



**Definicja 5** Niech  $B = (b_0 \dots b_{n-1}) \in \{0, 1\}^n$  (binarne słowo długości  $n$ ). Definiujemy rząd  $r_B(i)$  bitu  $i$  w słowie  $B$  jako

$$r_B(i) = |\{j < i : b_j = b_i\}|.$$

**Definicja 6 (Rifle-Permutation)** Niech  $B = (b_0 \dots b_{n-1})$  będzie binarnym słowem długości  $n$ . Permutacja  $\pi$  indukowana z  $B$  jest definiowana jako

$$\pi_B(i) = \begin{cases} r_B(i) & \text{if } b_i = 0, \\ r_B(i) + HW(\bar{B}) & \text{if } b_i = 1 \end{cases}$$

for all  $0 \leq i \leq n-1$ .

**Przykład 3** Gdy  $B = 11100100$ , to  $r_B(0) = 0$ ,  $r_B(1) = 1$ ,  $r_B(2) = 2$ ,  $r_B(3) = 0$ ,  $r_B(4) = 1$ ,  $r_B(5) = 3$ ,  $r_B(6) = 2$ ,  $r_B(7) = 3$ . Permutacja Rifle-Permutation indukowana przez  $B$  jest równa:  $\pi_B = \begin{pmatrix} 0 & 1 & 2 & 3 & 4 & 5 & 6 & 7 \\ 4 & 5 & 6 & 0 & 1 & 7 & 2 & 3 \end{pmatrix}$ . Graficzna reprezentacja znajduje się na rysunku 1.

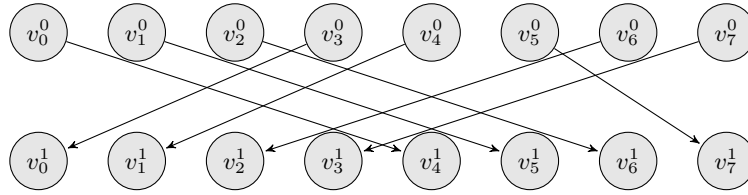


Fig. 1: Rifle-Permutation indukowana przez  $B = 11100100$ .

**Definicja 7 ( $N$ -Single-Layer-Rifle-Graph)** Niech  $\mathcal{V} = \mathcal{V}^0 \cup \mathcal{V}^1$ , gdzie  $\mathcal{V}^i = \{v_0^i, \dots, v_{N-1}^i\}$  i niech  $B$  będzie  $N$ -bitowym słowem. Niech  $\pi_B$  będzie Rifle-Permutation indukowaną przez  $B$ . Definiujemy  $N$ -Single-Layer-Rifle-Graph (dla parzystych  $N$ ) jako graf z następującym zbiorem krawędzi  $E$ :

- 1 krawędź:  $v_{N-1}^0 \rightarrow v_0^1$ ,
- $N$  krawędzi:  $v_i^0 \rightarrow v_{\pi_B(i)}^1$  dla  $i = 0, \dots, N-1$ ,
- $N$  krawędzi:  $v_i^0 \rightarrow v_{\pi_{\bar{B}}(i)}^1$  dla  $i = 0, \dots, N-1$ .

**Przykład 4** Dla  $B$  i  $\pi_B$  takich jak w Przykładzie 3, graf 8-Single-Layer-Rifle-Graph jest zaprezentowany na Rysunku 2.

Algorytm 3 generuje graf  $N$ -Double-Rifle-Graph, który jest zdefiniowany w sposób następujący. W dalszej części zakładamy, że  $N = 2^q$ .

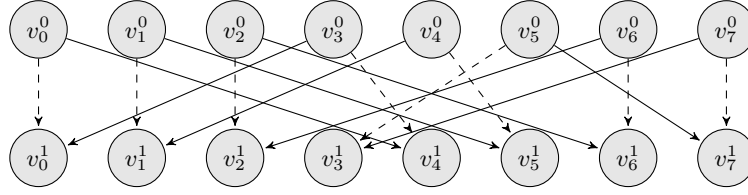


Fig. 2: Przykład 8-Single-Layer-Riffle-Graph (przedstawiony bez krawędzi  $(v_7^0, v_0^1)$ ), indukowany przez  $B = 11100100$ . Permutacja  $\pi_B$  jest przedstawiona liniami ciągłymi, natomiast  $\pi_{\bar{B}}$  liniami przerywanymi.

**Definicja 8 ( $N$ -Double-Riffle-Graph)** Niech  $V$  oznacza zbiór wierzchołków, a  $E$  zbiór krawędzi grafu  $G = (V, E)$ . Niech  $B_0, \dots, B_{g-1}$  będzie ciągiem  $g$  słów binarnych długości  $2^g$  każde. Wtedy graf  $N$ -Double-Riffle-Graph jest otrzymywany przez połączenie (zestakowanie)  $2g$  grafów Single-Layer-Riffle-Graphs, dając graf składający się z  $(2g + 1)2^g$  wierzchołków

$$\bullet \{v_0^0, \dots, v_{2^g-1}^0\} \cup \dots \cup \{v_0^{2g}, \dots, v_{2^g-1}^{2g}\},$$

oraz następujących krawędzi:

- $(2g+1)2^g$  krawędzi:  $v_{i-1}^j \rightarrow v_i^j$  dla  $i \in \{1, \dots, 2^g-1\}$  i  $j \in \{0, 1, \dots, 2^g\}$ ,
- $2g$  krawędzi:  $v_{2^g-1}^j \rightarrow v_0^{j+1}$  dla  $j \in \{0, \dots, 2^g-1\}$ ,
- $g2^g$  krawędzi:  $v_i^{j-1} \rightarrow v_{\pi_{B_j}(i)}^j$  dla  $i \in \{0, \dots, 2^g-1\}$ ,  $j \in \{1, \dots, g\}$ ,
- $g2^g$  krawędzi:  $v_i^{j-1} \rightarrow v_{\pi_{\bar{B}_j}(i)}^j$  dla  $i \in \{0, \dots, 2^g-1\}$ ,  $j \in \{1, \dots, g\}$ ,

oraz następujących krawędzi dla kolejnych  $g$  warstw – które są symetryczne względem numeru poziomu  $g$  (dla których wykorzystywane są permutacje odwrotne indukowane przez  $B_j, j \in \{0, \dots, g-1\}$ ):

- $g2^g$  krawędzi:  $v_{\pi_{B_j}^{-1}(i)}^{2g-j} \rightarrow v_i^{2g-j+1}$  dla  $i \in \{0, \dots, 2^g-1\}$ ,  $j \in \{1, \dots, g\}$ ,
- $g2^g$  krawędzi:  $v_i^{2g-j} \rightarrow v_{\pi_{\bar{B}_j}^{-1}(i)}^{2g-j+1}$  dla  $i \in \{0, \dots, 2^g-1\}$ ,  $j \in \{1, \dots, g\}$ .

**Definicja 9 ( $(N, \lambda)$ -Double-Riffle-Graph)** Niech  $G_i, i = 0, \dots, \lambda-1$  będzie zbiorem  $\lambda$  grafów  $N$ -Double-Riffle-Graph. Wtedy  $(N, \lambda)$ -Double-Riffle-Graph jest zdefiniowany jako graf otrzymany przez zestakowanie (połączenie)  $\lambda$  grafów  $N$ -Double-Riffle-Graphs w taki sposób, że ujścia  $G_i$  są wierzchołkami źródłami dla  $G_{i+1}, i = 0, \dots, \lambda-2$ .

Dla danej permutacji  $\sigma$  na  $\{0, \dots, 2^g-1\}$  elementach, niech  $\mathbf{B}$  będzie macierzą binarną rozmiaru  $2^g \times g$ , której  $j$ ty wiersz jest binarną reprezentacją  $\sigma(j), j = 0, \dots, 2^g-1$ . Przez  $B_i$  oznaczamy  $i$ tą kolumnę  $\mathbf{B}$ , zatem

$\mathbf{B} = (B_0, \dots, B_{2^g-1})$ . Macierz taką określamy jako *binarną reprezentację permutacji*  $\sigma$ . Macierz  $\mathfrak{B} = (\mathfrak{B}_0, \dots, \mathfrak{B}_{2^g-1})$  (wymiaru  $2^g \times g$ ) uzyskujemy w następujący sposób: Niech  $\mathfrak{B}_0 = B_0$ , dla  $i = 1, \dots, 2^g - 1$  przypisujemy  $\mathfrak{B}_i = \pi_{\mathfrak{B}_{i-1}^T}(B_i)$ . Procedura ta TraceTrajectories jest przedstawiona jako Algorytm 2.

W przybliżeniu, procedura RiffleScrambler( $x, s, g, \lambda$ ) działa następująco.

- Dla danej soli  $s$  oblicza pseudolosową permutację  $\sigma$  (wykorzystując odwrócone w czasie Riffle Shuffle), niech  $\mathbf{B}$  oznacza binarną reprezentację  $\sigma$ .
- Oblicza  $\mathfrak{B} = \text{TraceTrajectories}(\mathbf{B})$ .
- Tworzy instancje grafu  $N$ -Double-Riffle-Graph ( $2g + 1$  rzędów, każdy po  $2^g$  wierzchołków) używając  $\mathfrak{B}_0^T, \dots, \mathfrak{B}_{g-1}^T$  jako słów binarnych (indukujących).
- Obliczając wartość funkcji dla  $x$  na grafie, przypisuje wartość w ostatnim rzędzie, czyli:  $v_0^{2g+1}, \dots, v_{2g+1}^{2g-1}$ .
- Ostatni rząd jest przepisywany do pierwszego:  $v_i^0 = v_i^{2g+1}, i = 0, \dots, 2^g - 1$ , a całe obliczenie jest powtarzane  $\lambda$  razy.
- Ostatecznie, wartość  $v_{2^g-1}^{2g}$  jest zwracana.

Główna procedura RiffleScrambler( $x, s, g, \lambda$ ) do obliczania hasła dla  $x$ , soli  $s$  i parametrów  $g, \lambda$  jest przedstawiona jako Algorytm refalg:init.

**Przykład 5** *Przykład grafu  $(8, 1)$ -Double-Riffle-Graph, który został uzyskany z permutacji:  $\sigma = \begin{pmatrix} 0 & 1 & 2 & 3 & 4 & 5 & 6 & 7 \\ 5 & 4 & 6 & 3 & 2 & 7 & 0 & 1 \end{pmatrix}$ . Jej reprezentacja binarna jest następująca:*

$$\mathbf{B} = (B_0, B_1, B_2), \quad \mathbf{B}^T = \begin{pmatrix} 1 & 1 & 1 & 0 & 0 & 1 & 0 & 0 \\ 0 & 0 & 1 & 1 & 1 & 1 & 0 & 0 \\ 1 & 0 & 0 & 1 & 0 & 1 & 0 & 1 \end{pmatrix}.$$

W ten sposób otrzymujemy trajektorie elementów i możemy z tego wyprowadzić słowa/permutacje dla każdej z warstw grafu::

- Dla  $\mathfrak{B}_0 = B_0 = (11100100)^T$  (z poprzednich przykładów) – otrzymane poprzez konkatencję pierwszych cyfr elementów, otrzymujemy  $\pi_{B_0} = \begin{pmatrix} 0 & 1 & 2 & 3 & 4 & 5 & 6 & 7 \\ 4 & 5 & 6 & 0 & 1 & 7 & 2 & 3 \end{pmatrix}$ .
- $\mathfrak{B}_1 = \pi_{\mathfrak{B}_0^T}(B_1) = \pi_{\mathfrak{B}_0^T}(11100100) = (11000011)^T$ , zatem  $\pi_{\mathfrak{B}_1} = \begin{pmatrix} 0 & 1 & 2 & 3 & 4 & 5 & 6 & 7 \\ 4 & 5 & 0 & 1 & 2 & 3 & 6 & 7 \end{pmatrix}$ .
- $\mathfrak{B}_2 = \pi_{\mathfrak{B}_1^T}(B_2) = \pi_{\mathfrak{B}_1^T}(10010101) = (01011001)^T$ , czyli  $\pi_{B_2} = \begin{pmatrix} 0 & 1 & 2 & 3 & 4 & 5 & 6 & 7 \\ 0 & 4 & 5 & 1 & 6 & 2 & 3 & 7 \end{pmatrix}$ .

- *i* ostatecznie

$$\mathfrak{B} = (\mathfrak{B}_0, \mathfrak{B}_1, \mathfrak{B}_2), \quad \mathfrak{B}^T = \begin{pmatrix} 1 & 1 & 1 & 0 & 0 & 1 & 0 & 0 \\ 1 & 1 & 0 & 0 & 0 & 0 & 1 & 1 \\ 0 & 1 & 0 & 1 & 1 & 0 & 0 & 1 \end{pmatrix}.$$

Wynikowy graf jest przedstawiony na Rysunku 3.

### 3.1 Pseudocodes

---

**Algorithm 1** RiffleShuffle<sub>H</sub>( $n, s$ )

---

```

1:  $\pi = \langle 1, \dots, n \rangle$ 
2: for  $i = 1$  to  $n$  do
3:   for  $j = 1$  to  $i - 1$  do
4:      $M[i, j] = 0$ 
5:   end for
6: end for
7: while  $\exists_{1 \leq i \leq n} \exists_{1 \leq j < i} M[i, j] = 0$  do
8:    $\mathcal{S}_0, \mathcal{S}_1 = \emptyset$ 
9:   for  $w := 1$  to  $n$  do
10:     $b = H(s, w, r)_1$ 
11:     $\mathcal{S}_b = \mathcal{S}_b \uplus \pi[w]$ 
12:   end for
13:   for  $i \in \mathcal{S}_0$  do
14:     for  $j \in \mathcal{S}_1$  do
15:        $M[\max(i, j), \min(i, j)] = 1$ 
16:     end for
17:   end for
18:    $\pi = \mathcal{S}_0 \uplus \mathcal{S}_1$ 
19: end while
20: return  $\pi$ 

```

---



---

**Algorithm 2** TraceTrajectories(**B**)

---

**Require:** :  $\mathbf{B} = (B_0, \dots, B_{g-1})$  {binary matrix of size  $2^g \times g$  with columns  $B_i, i = 0, \dots, g-1$ }

**Ensure:** :  $\mathfrak{B}$  {binary matrix of size  $2^g \times g$  with recalculated trajectories}

```

1:  $\mathfrak{B}_0 = B_0$ 
2: for  $i := 1$  to  $g - 1$  do
3:    $\mathfrak{B}_i = \pi_{\mathfrak{B}_{i-1}^T}(B_i^T)$  //Riffle-Permutation induced by  $B_i^T$ 
4: end for
5: return  $\mathfrak{B} = (\mathfrak{B}_0, \dots, \mathfrak{B}_{g-1})$ 

```

---

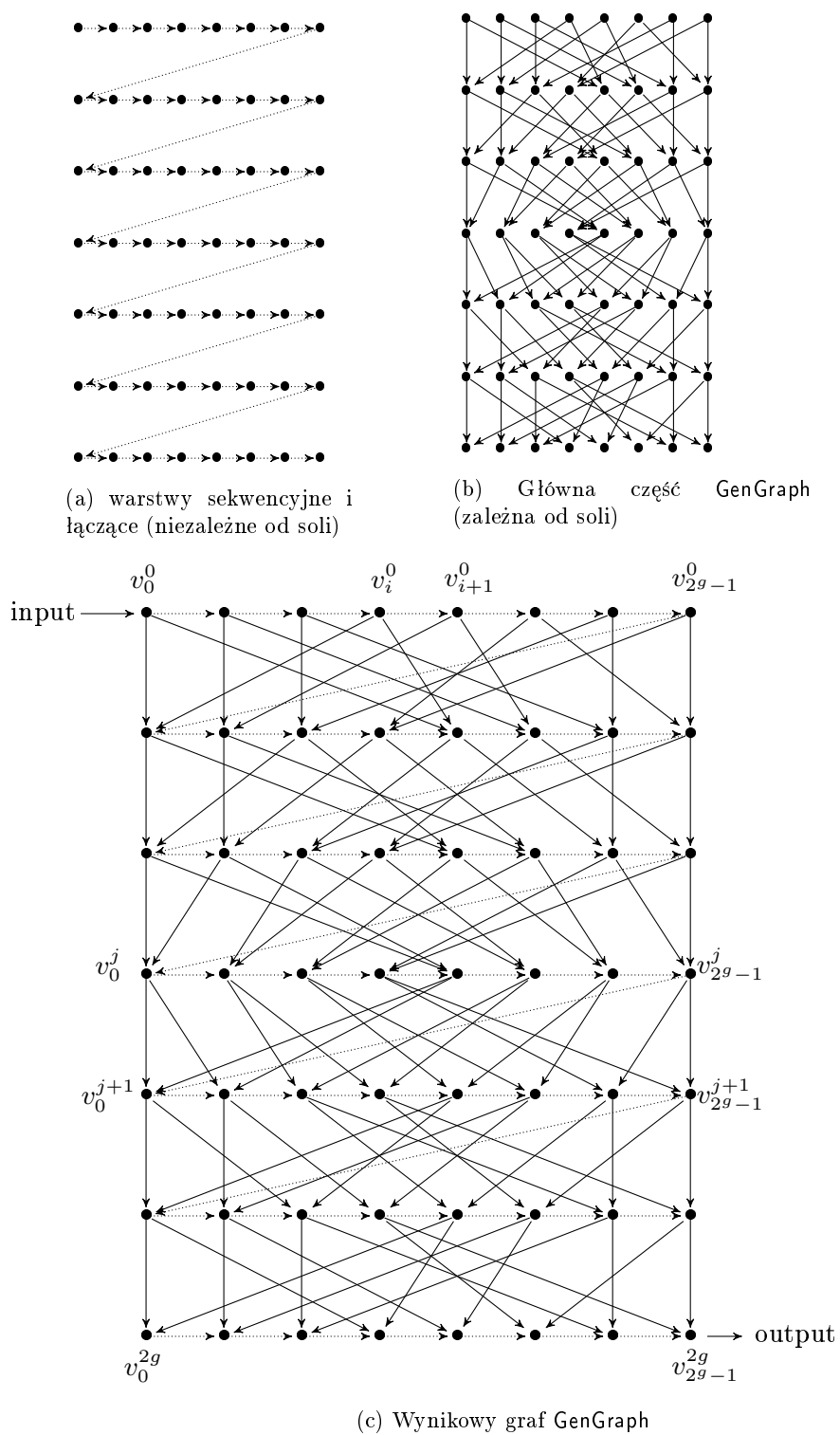


Fig. 3: Instancja grafu (8,1)-Double-Riffle-Graph

---

**Algorithm 3** GenGraph<sub>H</sub>( $g, \sigma$ )

---

```

1:  $N = 2^g$ 
2:  $V = \{v_i^j : i = 0, \dots, N-1; j = 0, \dots, 2g\}$ 
3:  $E = \{v_i^j \rightarrow v_{i+1}^j : i = 0, \dots, N-2; j = 0, \dots, 2g\}$ 
4:  $E = E \cup \{v_{n-1}^j \rightarrow v_0^{j+1} : j = 0, \dots, 2g-1\}$ 
5: Let  $\mathbf{B}$  be a binary representation of  $\sigma$ 
6: Calculate  $\mathfrak{B} = (\mathfrak{B}_0, \dots, \mathfrak{B}_{g-1}) = \text{TraceTrajectories}(\mathbf{B})$ . Let  $\mathfrak{B}_{2g+1-m} = \mathfrak{B}_m, m =$ 
    $0, \dots, g-2$ . Let  $\mathfrak{B}_j = \mathfrak{B}_{j,0}\mathfrak{B}_{j,1}\dots\mathfrak{B}_{j,2g-1}$ 
7: for  $i = 0$  to  $2g$  do
8:   end for
9: for  $j = 0$  to  $2g-1$  do
10:   for  $i = 0$  to  $2^g-1$  do
11:      $E = E \cup \{v_i^j \rightarrow v_{\pi_{\mathfrak{B}_{j,i}}}^{j+1}\} \cup \{v_i^j \rightarrow v_{\pi_{\mathfrak{B}_{j,i}}}^{j+1}\}$ 
12:   end for
13: end for
14: return  $\pi$ 

```

---



---

**Algorithm 4** RiffleScrambler( $n, x, s, g, \lambda$ )

---

**Require:**  $s$  {Salt},  $g$  {Garlic},  $x$  {Value to Hash},  $\lambda$  {Depth},  $H$  {Hash Function}

**Ensure:**  $x$  {Password Hash}

```

1:  $\sigma = \text{RiffleShuffle}_H(2^g, s)$ 
2:  $G = (V, E) = \text{GenGraph}(g, \sigma)$ 
3:  $v_0^0 \leftarrow H(x)$ 
4: for  $i := 1$  to  $2^g-1$  do
5:    $v_i^0 = H(v_{i-1}^0)$ 
6: end for
7: for  $r := 1$  to  $\lambda$  do
8:   for  $j := 0$  to  $2g$  do
9:     for  $i = 0$  to  $2^g-1$  do
10:       $v_i^{j+1} := 0$ 
11:      for all  $v \rightarrow v_i^{j+1} \in E$  do
12:         $v_i^{j+1} := H(v_i^{j+1}, v)$ 
13:      end for
14:    end for
15:  end for
16:  for  $i = 0$  to  $2^g-1$  do
17:     $v_i^0 = v_i^{2g+1}$ 
18:  end for
19: end for
20:  $x := v_{n-1}^{2g}$ 
21: return  $x$ 

```

---

## 4 Podsumowanie

Przedstawiono nową funkcję typu memory-hard, która może być wykorzystywana do bezpiecznego przechowywania haseł. **RiffleScrambler** ma lepszy time-memory trade-off niż Argon2i i Balloon Hashing, gdy rozmiar pamięci  $n$  rośnie, a liczba rund  $r$  jest stała (tak jak Catena-DBG).

	$BHG_7$	$BHG_3$	Argon2i	Catena BFG	RiffleScrambler
Serwer - czas T (for $S = N$ )	$8\lambda N$	$4\lambda N$	$2\lambda N$	$4\lambda N$	$3\lambda N$
Atakujący - czas T ( $S \leq \frac{N}{64}$ )	$T \geq \frac{2^\lambda - 1}{32S} N^2$	$T \geq \frac{\lambda N^2}{32S}$	$T \geq \frac{N^2}{1536S}$	$T \geq (\frac{\lambda N}{64S})^\lambda N$	$T \geq (\frac{\lambda N}{64S})^\lambda N$
Atakujący - czas T ( $\frac{N}{64} \leq S \leq \frac{N}{20}$ )	nieznane				
Graf zależny od soli	tak	tak	tak	nie	tak

Fig. 4: Porównanie wydajności i bezpieczeństwa BalloonHashing ( $BHG_3$  to BalloonHashing dla  $\delta = 3$ , a  $BHG_7$  oznacza graf BHG dla  $\delta = 7$ ), Argon2i, Catena (Butterfly graph) oraz RiffleScrambler (RSG).

## 5 Kody źródłowe

**Listing 1.1** Kod źródłowy RiffleShuffle.h – plik nagłówkowy

---

```

14 class RiffleShuffle {
15     private:
16         uint8_t salt;
17         int pepper;
18         int N;
19         int Nhalf;
20         int lambda;
21         const char* algorithm;
22         SHA256_CTX digest;
23         const char hexTable[16] = {'0','1','2','3','4','5','6','7','8','9','a','b','c','d','e','f'};
24
25     public:
26         void init(int, const char[]);
27         string result;
28         string scramble(std::string , std::string , int);
29         string sha256(const std::string);
30         bool isSet(std::string, int);
31         string saltedChoices(int, int, std::string);
32         string getHash();
33
34     private: char hashString(uint8_t);
35 };

```

---

## References

- AB16. Joël Alwen and Jeremiah Blocki. Efficiently Computing Data-Independent Memory-Hard Functions. pages 241–271. 2016.
- ABP17. Joël Alwen, Jeremiah Blocki, and Krzysztof Pietrzak. Depth-Robust Graphs and Their Cumulative Memory Complexity. In *EUROCRYPT 2017*, pages 3–32. Springer, Cham, apr 2017.
- AD86. David Aldous and Persi Diaconis. Shuffling cards and stopping times. *American Mathematical Monthly*, 93(5):333–348, 1986.
- AD87. David Aldous and Persi Diaconis. Strong Uniform Times and Finite Random Walks. *Advances in Applied Mathematics*, 97:69–97, 1987.
- AS15. Joël Alwen and Vladimir Serbinenko. High Parallel Complexity Graphs and Memory-Hard Functions. In *Proceedings of the Forty-Seventh Annual ACM on Symposium on Theory of Computing - STOC '15*, pages 595–603, New York, New York, USA, 2015. ACM Press.
- BCGS16. Dan Boneh, Henry Corrigan-Gibbs, and Stuart Schechter. Balloon Hashing: A Memory-Hard Function Providing Provable Protection Against Sequential Attacks. pages 220–248. Springer, Berlin, Heidelberg, dec 2016.
- BDK16. Alex Biryukov, Daniel Dinu, and Dmitry Khovratovich. Argon2: New Generation of Memory-Hard Functions for Password Hashing and Other Applications. In *2016 IEEE European Symposium on Security and Privacy (EuroS&P)*, pages 292–302. IEEE, mar 2016.



**Listing 1.2** Metoda inicjalizująca obliczenia~~RiffleShuffle::init~~


---

```

36 void RiffleShuffle::init(int N, const char * algorithm) {
37     if (N % 2 != 0)
38         N++;
39
40     this->N = N;
41     this->Nhalf = (int) N/2;
42
43     this->lambda = 2 * (int) ceil(log2(N));
44     this->pepper = 1;
45
46     this->algorithm = "SHA-256";
47     string result = "";
48     SHA256_Init(&this->digest);
49 }

```

---

- Bra17. William F. Bradley. Superconcentration on a Pair of Butterflies. jan 2017.
- Bur00. Kaliski Burt. PKCS #5: Password-Based Cryptography Specification Version 2.0. Technical report, 2000.
- FLW. Christian Forler, Stefan Lucks, and Jakob Wenzel. Catena: A Memory-Consuming Password-Scrambling Framework.
- FLW15. Christian Forler, Stefan Lucks, and Jakob Wenzel. The Catena Password-Scrambling Framework. 2015.
- GLZ18. Karol Gotfryd, Paweł Lorek, and Filip Zagórski. RiffleScrambler – A Memory-Hard Password Storing Function. pages 309–328. Springer, Cham, sep 2018.
- LT82. Thomas Lengauer and Robert E. Tarjan. Asymptotically tight bounds on time-space trade-offs in a pebble game. *Journal of the ACM*, 29(4):1087–1130, oct 1982.
- Per. Colin Percival. STRONGER KEY DERIVATION VIA SEQUENTIAL MEMORY-HARD FUNCTIONS.
- phc. Password Hashing Competition.
- Por15. Thomas Pornin. The MAKWA Password Hashing Function Specifications v1.1. 2015.
- SAA<sup>+</sup>. Marcos A Simplicio, Leonardo C Almeida, Ewerton R Andrade, Paulo C F Dos Santos, and Paulo S L M Barreto. Lyra2: Password Hashing Scheme with improved security against time-memory trade-offs.
- yes14. yescrypt -a Password Hashing Competition submission. Technical report, 2014.

---

**Listing 1.3** Metoda obliczająca hash zależny od: parametru bezpieczeństwa  $\lambda$  (layer), soli (salt) i numeru rundy (round).

---

```

84 string RiffleShuffle::saltedChoices(int layer, int round, string salt) {
85     int numberOfBlocks = (int) (ceil(this->N/256));
86
87     string choices;
88
89     for (int i=0; i <= numberOfBlocks; i++) {
90         string saltChoices;
91         saltChoices = "RSfree:" + to_string(this->N) + ":" +
92             to_string(this->pepper) + ":" + to_string(layer) + ":" +
93             to_string(round) + ":" + salt + ":" +
94             to_string(numberOfBlocks) + ":" + to_string(i);
95         choices = sha256(saltChoices);
96     }
97
98     return choices;
99 }

```

---

**Listing 1.4** Implementacja *RifleSchuffle\** – uproszczonej wersji RifleSchuffle

---

```

106 string RifleSchuffle::scramble(string password, string salt, int pepper) {
107     if (this->pepper < pepper)         this->pepper = pepper;
108     this->pepper += 2;
109     vector <string> bufferOld(this->N);
110     vector <string> bufferNew(this->N);
111     //initialization of the buffer:
112     string initVal = password + ":" + salt;
113     bufferOld[0] = sha256(initVal);
114     for (int i = 1; i < this->N; i++) {
115         string stringToHash;
116         stringToHash = "RSfreeInit:" + to_string(this->N) + ":" + to_string(this->pepper) + ":0";
117         bufferOld[i] = sha256(stringToHash);
118     }
119     vector <int> leftParents(this->N);
120     vector <int> rightParents(this->N);
121     //actual RifleScrambler computation
122     //outer loop
123     for (int layer = 0; layer < this->pepper; layer++) {
124         //inner loop
125         for (int round = 0; round < this->lambda; round++) {
126             int leftCounter = 0;
127             string choices = saltedChoices(layer, round, salt);
128             //first pass to learn how many zeros we have
129             for (int i = 0; i < this->N; i++) {
130                 if (!isSet(choices, i))
131                     leftCounter++;
132             }
133             int noOfZeros = leftCounter;
134             int noOfOnes = this->N - leftCounter;
135             leftCounter = 0;
136             int rightCounter = 0;
137             //buffer loop
138             for (int i = 0; i < this->N; i++) {
139                 if (!isSet(choices, i)) {
140                     leftParents[leftCounter] = i;
141                     rightParents[noOfOnes + leftCounter] = i;
142                     leftCounter++;
143                 } else {
144                     leftParents[noOfZeros + rightCounter] = i;
145                     rightParents[rightCounter] = i;
146                     rightCounter++;
147                 }
148             }
149             //compute values at the next level:
150             for (int i = 0; i < this->N; i++) {
151                 string toNewHash;
152                 toNewHash = bufferOld[leftParents[i]] + bufferOld[rightParents[i]];
153                 bufferNew[i] = sha256(toNewHash);
154             }
155             for (int i = 0; i < this->N; i++) {
156                 bufferOld[i] = bufferNew[i];
157             }
158         }
159     }
160     this->result = bufferNew[((this->N)-1)];
161     return bufferNew[((this->N)-1)];
162 }

```